

## Seldağınaklık-Sekileştirme-Enerji Sistemi: Başkale-Van

*Artifical Dyke-Terrace-Energy System: Başkale-Van*

\*Levent AKDUMAN, \*\*Yasemin LEVENTELİ, \*\*\*Özgür YILMAZER,

\*\*\*\*İlyas YILMAZER,

\*MTA, Doğu Akdeniz Bölge Müd., Adana

\*\*Akdeniz Üniversitesi, Jeoloji Müh. Böl., Antalya

\*\*\*Yilmazer Egit. Ltd., A. Öveçler, 8. cad., 89. sok. 9/8, 06460, Ankara

\*\*\*\*Yüzüncü Yıl Üniversitesi, Van

### ÖZ

Doğu Anadolu yüksek dağlar ve yıl boyu akan kaynaklar içermektedir. Arap kıtasının kuzeye iteklemesi nedeniyle de yükseltimini sürdürmektedir. Tamamına yakını yüksek aşın-taşın (erosion) nedeniyle çiplaktır. Kolay toprak üreten ve özellikle de yamaç dışarı (outslope) eğim içeren kesimlerde ise büyük ölçekli kaymalar yer almaktadır. Önerilen sistem: (1) kaymaları sonlandırip tarıma kazandırmaktadır, (2) çiplak alanları özellikle bahçe tarımına çevirmektedir, (3) sel sorununu sıfırlamaktadır, (4) yenilenebilir enerji kazandırmaktadır.

**Anahtar Sözcükler:** Seldağınaklık; seki; yenilenebilir enerji; çevre; kalkınma.

### ABSTRACT

*High mountain ranges with perennial streams characterize the Eastern Anatolia. The nouthern pushing effect of the Arabian plate uplifts the region. Due to the high erosion rate barren topography dominates. Huge landslides take place where weak to extremely weak rocks are available. Outslope condition escalates the formation of immensely wide landslides. The proposed system: (1) stabilizes landslides and provides fertile farm land, (2) transfers the barren lands to irrigable gardens, (3) impedes flooding and (4) provides renewable energy.*

**Keywords:** artificial dyke; terrace; renewable energy; environment; development.

## GİRİŞ

Kızıldeniz'in okyanuslaşmasına bağlı olarak Arap kıtası Doğu Anadolu'yu kuzeye iteklemektedir. Bu sırada bölgесel yükselme sürmektedir. Güneydoğu Toros dağları, Artos dağları, Sümbül dağları ve Cilo dağları tipik örneklerdir. Yüksekliği 4000 metreye yaklaşan bu dağlardan yıl boyu akışını sürdürden kaynaklar, Anadolu'yu terkederken 600 metre kotunun altına inmektedir. Başka bir anlatımla 2000 metrenin üzerinde düşü vardır. En yüksek barajların 200 metre [ $E=m.g.h$  denklığında  $m$ = suyun kütlesi (kg),  $g$ = yer çekim ivmesi ( $m/s^2$ ) ve  $h$ = düşü (m)] dolaylarında olduğu düşünüldüğünde 2000 metrenin önemi daha kolay anlaşılabilir (Yılmazer ve diğ., 2002, Yılmazer, 1992, 1994; McAllister, 1993).

Son buzul çağ (Wisconsin dönemi: M.Ö. 40000-10000) sonuna doğru oluşmuş büyük ölçekli kaymalar; dağ kaymaları ve kaya yığınları olarak gözlenmektedir. Ayrıca zayıf dayanımlı olup, yamaçdaşarı süreksızlıklar içeren kesimlerde de etkin kayma alanları bulunmaktadır. Jeoteknik sorunların ana nedeni olan su-süreksızlık-kıl (SSK) üçlüsü bu alanlarda etkinliğini sürdürmektedir (Yılmazer, 1995).

Seldağınaklık sistemine benzer yöntemle 1924 yılında ABD Kızılderililer'i kırsal kesime döndürerek onları iş sahibi yapmayı başarmıştır.

## SELDAGINAKLIK

Seldağınaklık; birkaç torba cimento ve çevredeki kayalardan yapılan duvarın temel

kayanın içerisine köklendirilmiş şeklindedir (Şek.1). Kazanımları konusunda ayrıntı Akduman (2003), Yılmazer ve diğ. (1998; 2001)'de sunulmuştur.

Seldağınaklık sistemi; daha çok çiplak, kayalık ve derin vadilerde uygulanır (Şek. 2). Her seldağınaklığın tasarımını yere özgü olarak yapılır. Jeolojik, hidrojeolojik, jeoteknik ve hidrolik özellikler başta olmak üzere sekileştirme, sel, çevre, yöresel kalkınma göz önünde tutulması gereken konulardır.

Burada sunulan örnek, Van Başkale Yavrucak yöresindendir. Yavrucak çayı 3900 metre kotundaki Başkale Hakkari dağlarından doğmaktadır. Tepeler Üst Kretase'de yeniden harmanlanmış Triyas karmaşığının kristalize kireçtaşlarından oluşmaktadır. Kar örtüsü kalkarken yeni kar yağışının başladığı bir bölgedir.

Bilindiği gibi, yeraltısuunu besleyen ana yağış türü kardır (Yılmazer ve diğ., 1994, Dixon ve diğ., 1990, Haland ve Faugli, 1994). Ayrıca kireçtaşı ve benzeri kaya türleri pürüzlü yüzeyler oluşturdugundan yağışlar üst düzeyde yeraltısuuna dönüşür. Sel yapan bütün, dere, çay ve nehirler kuru derelerle başlarlar (Yılmazer, 2003). Seldağınaklık sistemi havzanın akış yukarıından aşağı doğru sistemli bir şekilde yapılması durumunda taşın sorunları ortadan kalkmaktadır. Burada örnek olarak sunulan Yavrucak çayının ilk seldağınaklık sistemi Şekil 3'de sunulan noktaya yapılacaktır. 1.2 km uzunluğundaki basınçlı boruya enerji elde edilebileceği gibi enerji kullanmadan yan



**Şekil 1.** Seldağınaklık yapısı (Kırkgeçit vadisi, Sinop).

**Figure 1.** Artificial dyke structure (Kırkgeçit valley, Sinop).





**Şekil 2.** Seldağınaklık yapısı öncesi ve sonrası saha durumu (Kırkgeçit vadisi, Pozantı).

**Figure 2.** The valley before and after the construction of an artificial dyke (Kırkgeçit valley, Pozantı).

borularla çiplak yamaçlarda oluşturulan sekiler sulama mevsimi (1.5 ay) süresince sulanacaktır (Şek. 4). Seldağınaklık, Kretase karmaşığının korkayaç bileşenleri içerisinde ve üzerine oturacaktır. Yaklaşık 0.5 m derinliğinde kaya içerisinde köklendirilecektir. Birim geçirimsizdir ( $K < 10^{-9} \text{ m/s}$ ).

## ENERJİ

Şek. 3 ve 4'de sunulan sistemle yılda 114.3 GWh enerji elde edilecektir (Çiz. 1). 50 Hertz frekansta ülke ağına verilen elektriğin bir bölümü yöre halkı tarafından ücretsiz olarak kullanılabilecektir. Fosil yakıta (dışa) bağımlı çalışan mobil santral (Şek. 5) elektriğinin yarı fiyatına satılması durumunda yöre halkına yıllık getirişi 9.14 milyon \$ olacaktır, (Faugli, 1999, Kroken, 1994, Raddum ve Fjelheim, 1994,

Teigland, 1999). Yatırım ise tamamen yerli kaynaklardan sağlanmış olacaktır. Yavrucak çayı (Şek. 6) gibi 124 kaynağı varlığı göz önünde tutulduğunda ülke gereksiniminin üzerinde yenilenebilir enerji, bu yöntemle kazanılabilecektir.

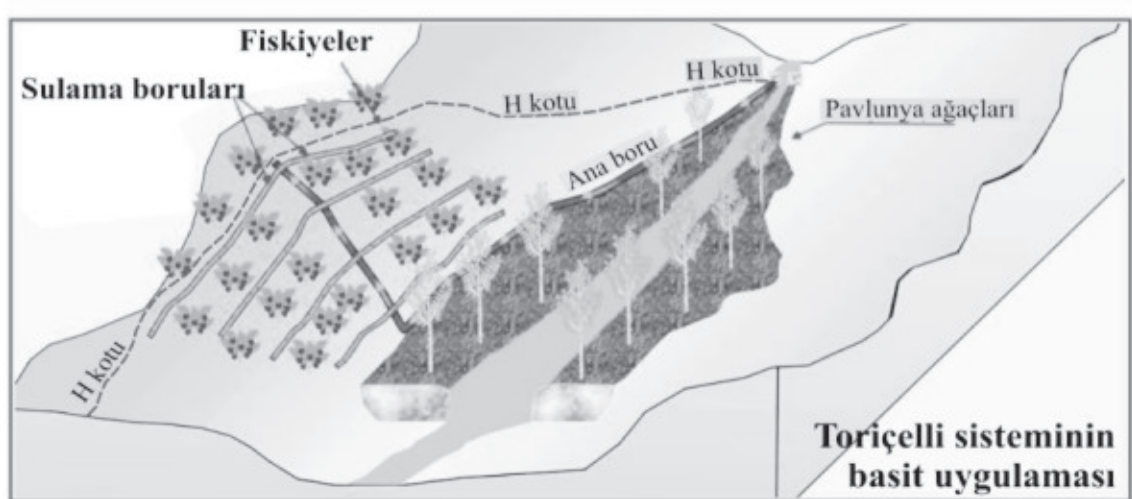
## SEKİLEŞTİRME

Sekileştirme yamaçlarda yaklaşık 4 m aralıklarla eşyükseltiler boyunca 0.6 m derinliğinde kazı ve çıkan malzemenin derinliği artırmak üzere yiğildiği hendek çalışmasıdır (Şek. 7).

Yavrucak yöresinde gerçekleştirilecek öneri sistemin yatırımı ve ortalama yıllık getirişi Çiz. 2'de sunulmuştur. Çalışma alanının (Şek. 8) yaklaşık %80'i kayma ve/veya yüksek aşıntaşının etkisi altındadır (bkz. Şek. 7).



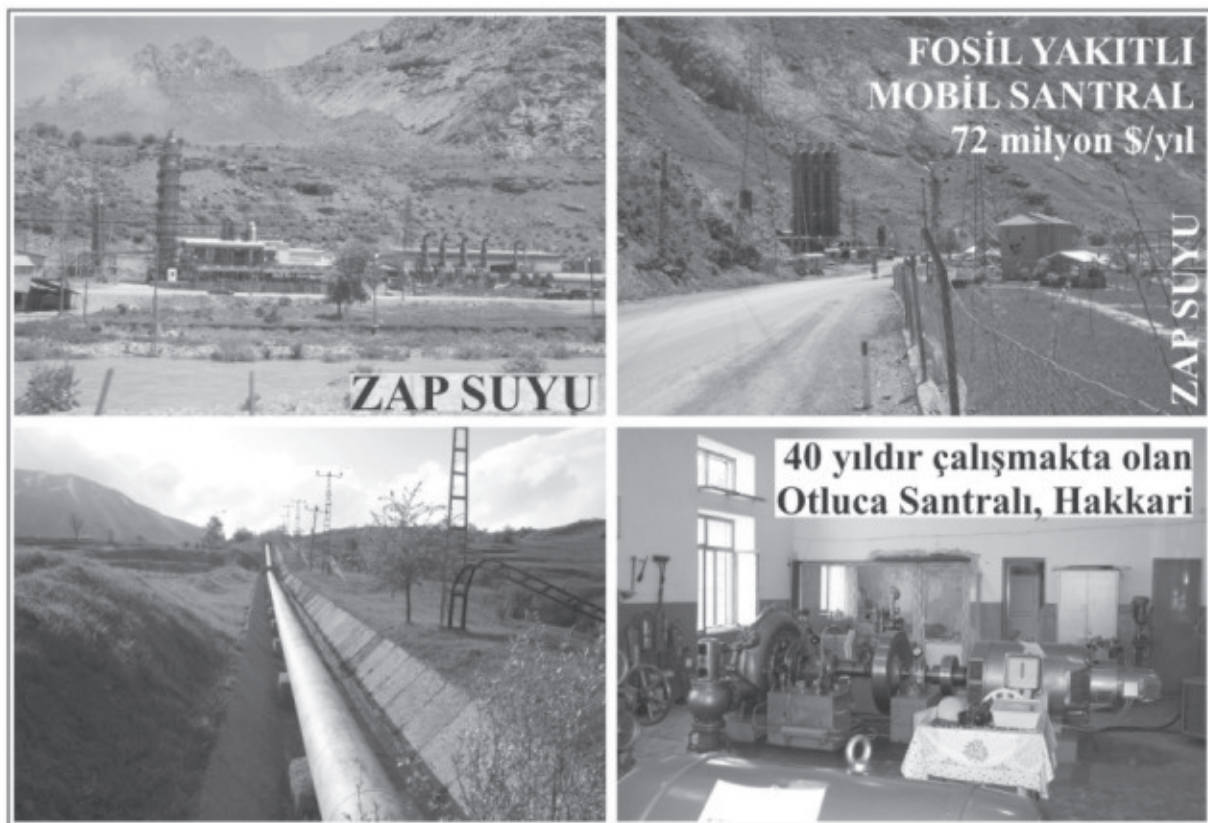
**Şekil 3.** Yavrucak çayı üzerinde önerilen ilk seldağnaklık yapı sahası.  
**Figure 3.** The proposed first artificial dyke site on Yavrucak stream.



**Şekil 4.** Seldağnaklık, sekileştirme ve sulama sistemi.  
**Figure 4.** The system of artificial dyke, terracing, and irrigation.

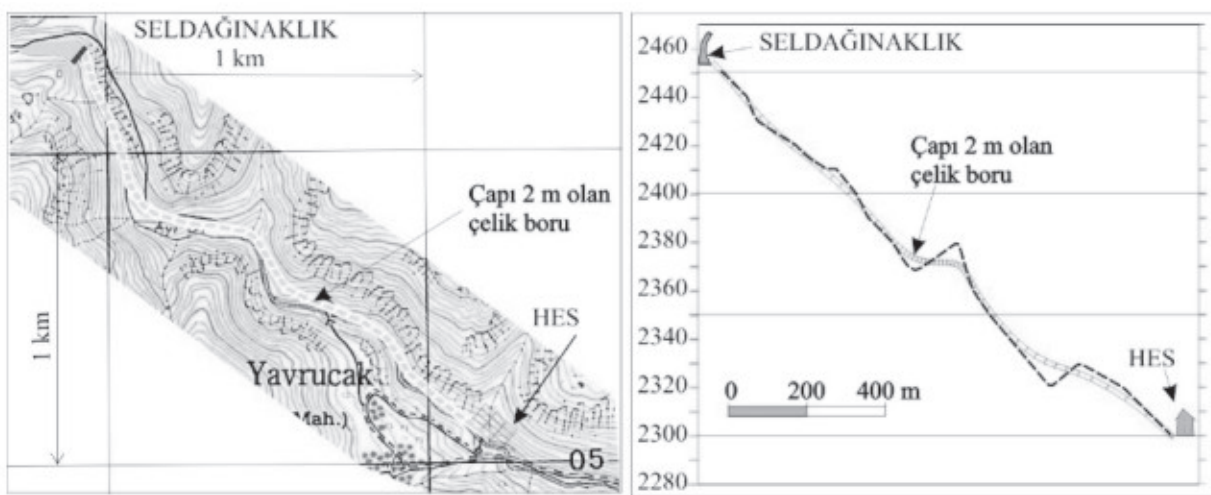
**Çizelge 1.** Enerji üretimi ile ilgili veriler.  
**Table 1.** Data to relevant energy production.

$N=g.Q.H.\eta$		$E=g.Q.H.\eta.t$
$N$ : Üretilen güç, kW	13 047	$E$ : Üretilen enerji, kWh
$g$ : Yerçekimi ivmesi, $m/s^2$	9,81	$t$ : Zaman, saat
$Q$ : Debi, $m^3/s$	10	$E_{yıl}=g.Q.H.\eta.8760$
$H$ : Düzeltilmiş düşü ( $h-h_s$ ), m	140	$E_{yıl}$ : kWh
$h$ : Düşü, m		114 294 348
$h_s$ : Sürtünme kaybı		$G_{yıl}=F_b.E_{yıl}$
$\eta$ : Türbin - jeneratör birleşik verimi, -	0,95	$G_{yıl}$ : Yıllık getirisi, \$
$M_b$ : Boru maliyeti, \$		9 143 548
$M_e$ : Elektromekanik ve ilgili tesislerin maliyeti, \$		$F_b$ : Birim fiyat, \$/kWh
$M_t$ : Toplam yatırım		0,08
		94 725
		56 835
		<b>189 449</b>



**Şekil 5.** Mobil santrala karşı doğa dostu seldağnaklıklı hidroelektrik.

*Figure 5. Hydroelectricity from environment friendly artificial dyke system against mobile power plant which consumes fossil fuel.*



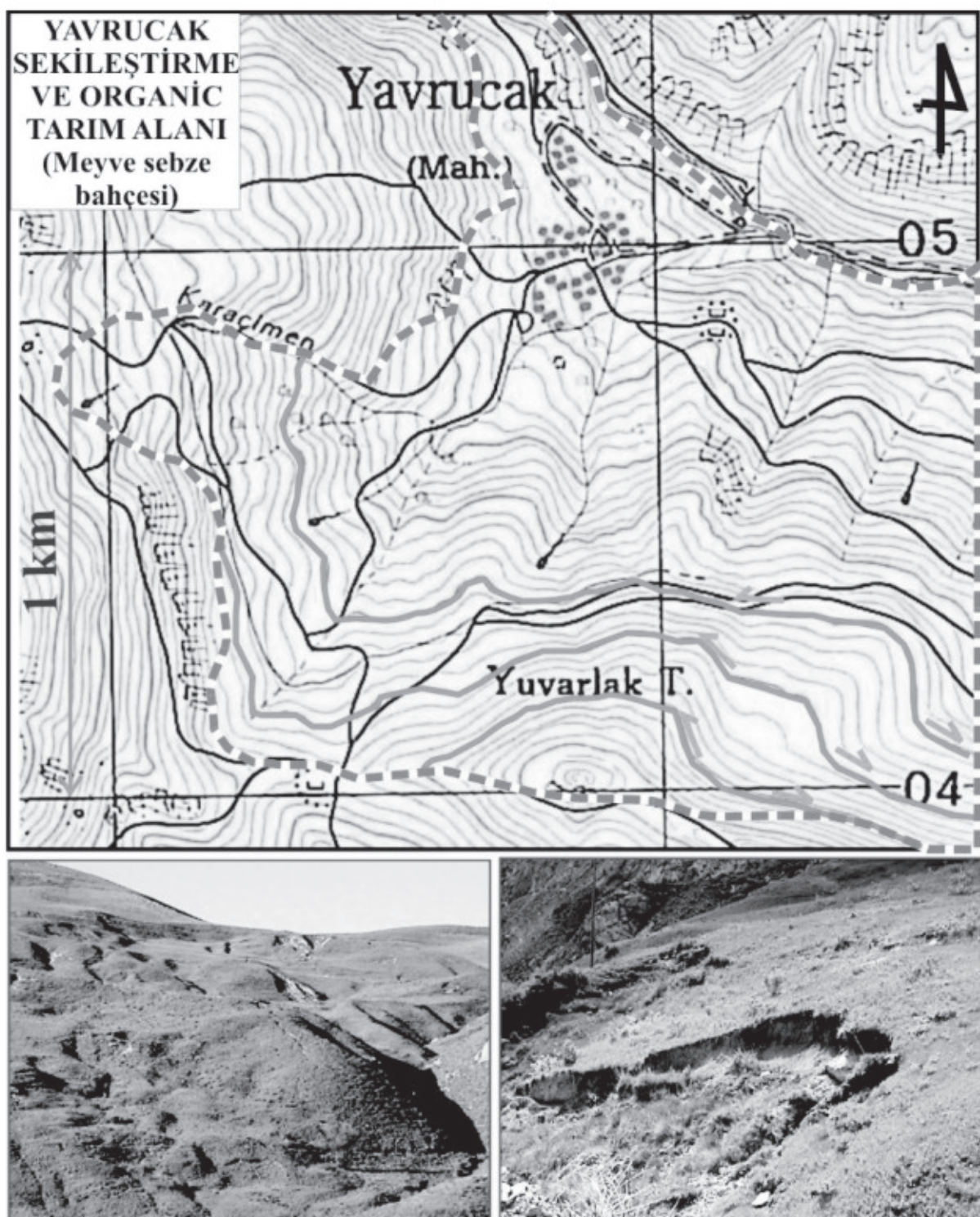
**Şekil 6.** Yavrucak barajsız hidroelektrik sistemi.  
**Figure 6.** Yavrucak hydroelectricity system without dam.



**Şekil 7.** Sekileştirme sistemi.  
**Figure 7.** Terracing system.

**Çizelge 2.** Sekileştirme sisteminin kazanımları.  
**Table 2.** Advantages of terracing system.

No	L, m	Di, m	L <sub>toplam</sub> , m	Sekileştirme, \$/m	1,5
1	1 000	100	10 000	Gider, \$	390 405
2	1 180	210	45 780	Sulama (damlama)	1
3	1 060	210	47 040	Gider, \$	260 270
4	1 250	160	36 960	Fidan alımı, \$	195 203
5	900	260	55 900	<b>Toplam yatırım, \$</b>	845 878
6	910	310	56 110	İşçilik, pazarlama ve bakım, \$	468 486
7	150	80	8 480	Getiri, \$/fidan	20
<b>L<sub>genel toplam</sub>, m</b>		260 270	Toplam getiri, \$	1 301 350	
<b>Dikim aralığı, m</b>		4	Fasulye nohut ve benzeri	260 270	
<b>Fidan adedi, -</b>		65 068	<b>Toplam getiri, \$</b>	<b>1 561 620</b>	



Şekil 8. Çalışma alanının duraysız ancak, sekileştirmeye uygun kesimlerinden görünümler.  
Figure 8. Unstable grounds of the delineated area which are proper for terracing.

## SONUÇ VE ÖNERİLER

Örnek olarak Doğu Anadolu bölgesi alındığında seldağınaklık-seki-enerji sisteminin ülke enerji gereksiniminin 2 katı ve fazlasının çevre dostu bir yöntemle (Toriçelli) sağlanabileceğinin açıkça görülebilmektedir. Organize-organik tarım ülke gereksiniminin birkaç katına çıkarılarak dışsatım gerçekleştirebilecektir. Böyle bir ulusal proje seferberliği (1) borçları 4 yıl gibi kısa sürede sıfırlatırken (2) organize organik tarım dışsatıcı ülkelerin başında yer alınmasını sağlar. Bu sistemin kurulmasında haritadan sonraki ikinci önemli aşama jeoloji ve jeotekniktir.

## DEĞİNİLEN BELGELER

- Akduman, L., 2003. Otoyol bileşenlerinin seçiminde seldağınaklık sisteminin önemi: Pozanti E5 Ereğli kavşağı otoyolu. Çukurova Üniversitesi, Fen Bilimleri Enstitüsü, 155 s.
- Dixon, J. A., Talbot, L. M., And Le Moigne, G. J. M., 1990. Damsand the Environment, considerations in world bank projects. World Bank Technical Paper Number 110.
- Faugli, P. E., 1999. The Aurland community and area, Western Norway-The impacts of hydropower development. International Commission on large dams (ICOLD), p. 347-364, Antalya-TURKEY.
- Håland, A., And Faugli, P. E., 1994. The Aurland hydropower development its impact on nature and the environment, Norwegian Journal of Geography, vol. 48, p. 81-84.
- Kroken, A., 1994. The socio-economic implications of the Aurland development project for the municipality of Aurland, Norwegian Journal of Geography, vol. 48, p. 71-74.
- McAllister, E. W. (Editor), 1993. Pipe line rules of thumb handbook. 3rd edition, Gulf Publishing Company, Houston, Texas, 542 p.
- Raddum, G. G., And Fjelheim, A., 1994. Impact of hydropower development on aquatic invertebrates, Norwegian Journal of Geography, vol. 48, p. 39-44.
- Teigland, J., 1999. Predictions and realities: impacts on tourism and recreation from hydropower and major road developments, Impact Assessment and Project Appraisal, vol. 17, p. 67-76.
- Yılmazer, İ., 1992. Hidrojeolojik araştırmalarda yükseklik ve süreksızlık etkenleri. Mühendislik Jeolojisi Türk Milli Komitesi Bülteni -14, 111-128.
- Yılmazer, İ., 1994. Sugücü ve doğal çevre ilişkisi üzerine. Türkiye 6. Enerji Kongresi Teknik Oturum Tebliğleri Kitabı 2, 413-420, 17-22 Ekim 1994, İzmir.
- Yılmazer, İ., 1995. Significance of discontinuity survey in motorway alignment selection. Engineering Geology, 40, 41-48.
- Yılmazer, İ., 2003. Sel sorununa kalıcı çözüm. Kaynak Yayınları, 78 sayfa, Ankara.
- Yılmazer, İ., Akduman, L., and Leventeli, Y., 1998. A wide enough construction platform and new aquifer created by artificial dykes in a barren and highly dissected valley. Proceedings of the International Symposium on Geology and Environment. Organized by Chamber of geological Engineers of Turkey on the occasion of anniversary of the 50th Geological Congress of Turkey, pp. 137-142.
- Yılmazer, İ., Çan, T., and Yılmazer, Ö., and Duman T., 2002. How to produce more energy through pipeline system. International Environmental Conference on Environmental Problems of the Mediterranean Region, 12 - 15 April, Near East University, Nicosia, North Cyprus.
- Yılmazer, İ., Yılmazer, Ö., Akduman, L., Leveneli, Y., Şimşek,V., & Ertuç A., 2001. Artificial dike method to create a construction platform and a new aquifer. The 4th International Symposium on Eastern Mediterranean Region Geology, May 21 25 '01, Isparta/Turkey, p. 67.